

## تقييم تأثير الحمولات الانفجارية على العناصر المعدنية

(1) مصعب النداف

(2) محمد سَّام الخباز

### المؤلَّفُون

تُقدِّم المقالة دراسةً جديدةً في حقلٍ بحثيٍ نادراً ما تُمَّ البحث فيه في مجتمع الهندسة الميكانيكية، وهو مجال الانفجارات وأثرها في العناصر المعدنية للآلات والمنشآت، حيث تُمثِّل خطوة أولى بسيطة في هذا الحقل يجب أن يتبعها خطوات لاحقة لتوسيعة المعلومات والمعرفة فيه.

انطلقت هذه الدراسة من دراسة مرجعية سابقة ضمن مجال الهندسة المدنية، حول دراسة استجابة الأعدة المختلطة المعرضة لحمل انفجاري وسلوكيها (عمود معدني ذي مقطع H محاط بالإسمنت وقضبان التسلیح الطولي والعرضي)، قام الباحث بإعادة تَمْذِيج عمود مُختلط مُشابه للنموذج في الدراسة المرجعية وعَرَضَه للحملة الانفجارية نفسها. تم استخدام أحد أهم برامج التَّمْذِيج والمحاكاة التي تُستخدم طريقة العناصر المنتهية، وهو برنامج LS-DYNA، وكانت النتائج مقاربة لنتائج الدراسة المرجعية، ومن ثم أجريت تعديلات على بعض متغيرات النموذج وخصائصه، وأُجريت التحليلات الازمة واستخلصت النتائج وبيَّنَتَ آثر هذه المتغيرات على العمود المعدني. حيث أُزيل الغلاف البيتونى وقضبان التسلیح وأُبقِيَ على العمود المعدني فقط وغُرِّضَ للحملة الانفجارية السابقة نفسها، ثم قُورِنَ بين العمود المعدني المُغَفَّى بالبيتون وفولاذ التسلیح مع العمود المعدني غير المُغَفَّى. وغيَّرت قيمة الحملة الانفجارية المؤثرة على العمود المعدني، للوصول إلى آثر وجود البيتون بوصفه مادة محيطة بالأعدة المعدنية. إذ توصل الباحث إلى أن البيتون يمتلك الجزء الأكبر من طاقة الانفجار ومن ثم يُخفِّض الأضرار الهيكليَّة للعمود المعدني بنسبة كبيرة جدًا، حيث انخفض الانحناء الكلي في العمود المعدني المحاط بالبيتون إلى 50% مقارنةً بالعمود المعدني غير المحاط بالبيتون، وكذلك انخفض التشوه الموضعي في العمود المعدني المحاط بالبيتون إلى 10% مقارنةً بالعمود المعدني غير المحاط بالبيتون.

**الكلمات المفتاحيَّة:** الحمولات الانفجارية، العمود المعدني، العمود المُختلط، مؤشر الصَّرَر، الانفعال اللدن، التشوه الكلي، التشوه الموضعي، طريقة العناصر المنتهية.

(1) طالب دراسات عليا ماجستير اختصاص تصميم وبناء آلات، قسم هندسة التصميم الميكانيكي والإنتاج، كلية الهندسة الميكانيكية والكهربائية، جامعة دمشق، سورية

E-mail: [musaab.alndaf@gmail.com](mailto:musaab.alndaf@gmail.com)

(2) أستاذ مساعد في قسم هندسة التصميم الميكانيكي والإنتاج، كلية الهندسة الميكانيكية والكهربائية، جامعة دمشق، سورية.

## Evaluation the Effects of Blast Loads on Metallic Elements

Musaab Al-ndaf<sup>(1)</sup>

Muhammad Bassam Al-Khabbaz<sup>(2)</sup>

### Abstract

The article presents a new study in a research field that has rarely been researched in the mechanical engineering community, which is the field of explosions and their impact on the metallic elements of machines and constructions. It represents a simple first step in this field that must be followed by subsequent steps to expand information and knowledge in it.

This study was launched from a previous reference study within the field of civil engineering, on the study of the response and behavior of mixed columns subjected to an explosive load (a metal column with an H-section surrounded by cement and longitudinal and transverse reinforcing bars).

The researcher re-modeled a mixed column similar to the model in the reference study and exposed it to the same explosive load. One of the most important modeling and simulation programs that uses the finite element method, which is the (LS-DYNA) program, was used, and the results were close to the results of the reference study. Then modifications were made to some of the model's variables and properties, and the necessary analyzes were conducted and the results were extracted and the impact of these variables on the metallic column was shown.

The concrete casing and the reinforcing bars were removed and only the metal column was left and exposed to the same previous explosive load, then it was compared between the concrete-covered metal column with the non-covered metal column. Then the value of the blast load that affected to the metal column was changed, to reach the effect of the presence of concrete as a material surrounding the metal columns.

The researcher concluded that the concrete absorbs the bulk of the energy of the blasting and thus reduces the structural damage to the metal column by a very large percentage. Where the total bending in the concrete-covered metal column was decreased to 50% compared to the non-covered metal column, and the local deformation in the concrete-covered metal column was decreased to 10% compared to the non-covered metal column.

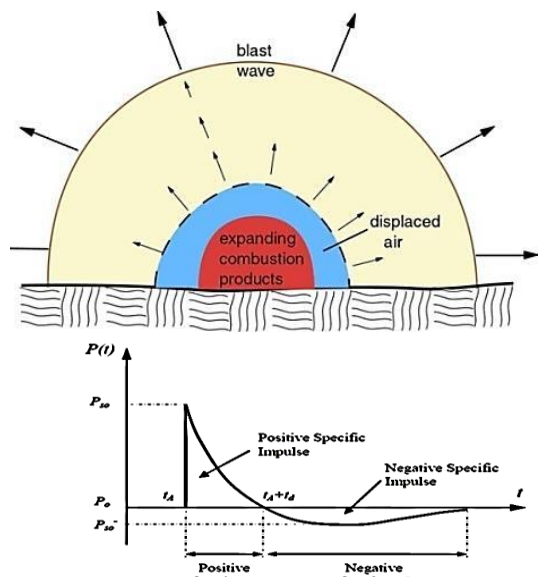
**Key Words:** Blast Loads, Metal Column, Mixed Column, Damage Index, Plastic Strain, Total Deformation, Local Deformation, Finite Element Method.

---

<sup>(1)</sup>Master's degree student in design and construction of machines, Department of Mechanical Design and Production Engineering, Faculty of Mechanical and Electrical Engineering, Damascus University, Syria.

E-mail: [musaab.alndaf@gmail.com](mailto:musaab.alndaf@gmail.com)

<sup>(2)</sup>Assistant Professor, Department of Mechanical Design and Production Engineering, Faculty of Mechanical and Electrical Engineering, Damascus University, Syria.



الشكل (1) شكل الموجة الانفجارية [1]

**العناصر المعرضة للحمل:** العناصر المعدنية (أعمدة، وجوازات، وصفائح، وبلاطات، وجداران، وقضبان..) من معدن أو خليطة معدنية معينة، وبأبعاد ومقطع محدد.

**الدراسة التحليلية الرقمية:** وهي دراسة تتم بواسطة برامج حاسوبية - خاصة بالبحث العلمي - والتي توفر الجهد والوقت والتكلفة على المهندسين والباحثين، للحصول على النتائج بدقة وأمان دون التعرض لمخاطر التجارب الواقعية؛ حيث تقوم هذه البرامج بدراسة السلوك الديناميكي للعناصر والتنبؤ بالمقاومة المتبقية بعد انتهاء مرحلة التحميل، مما يعطي المهندسين رؤية أوضح عن الإجهادات التي يتعرض لها العنصر ليتمكنوا من تصميمه على نحو سليم وأمن. [8]

**مؤشر الضرر:** هو معيار يتم اختياره لتقييم حالة العناصر المعرضة للحمل الانفجاري، مثل التشوه اللدن، والانتقالات والانفعالات، والرؤية المباشرة، التي استخدمت في البحث.

**متغيرات الحمل الانفجاري:** كمية الشحنة الانفجارية ونُعد مركز الانفجار عن الهدف، ومن خلالهما تُحدّد ما يسمى مسافة كثة الانفجار المقاومة ويرمز لها بالرمز ( $Z$ )، والذي تعتمد عليه معظم دلائل (أكواود) التصميم.

## 1. المقدمة

إنَّ تزايد حوادث الانفجارات وأثارها الكارثية في المنشآت الصناعية وما تحويه من آلات ومعدات وأشخاص ولاسيما المنشآت الحساسة منها - كمنشآت الطاقة والمنشآت النفطية والبتروكيماوية والجسور والسدود وأبراج نقل الطاقة والاتصالات والمنشآت الاستراتيجية - فرض مسألة تأثير الحمولات الانفجارية أثناء العملية التصميمية لأخذها بعين الاهتمام ومعرفة آثارها السلبية، لتقادي هذه الآثار أو التخفيف منها على جميع المستويات البشرية والمادية، وإيجاد تصميم آمن يضمن الاستثمار السليم والمديد لهذه المنشآت.

إنَّ فكرة البحث انطلقت من صميم الأزمة السورية وما يُعانيه وطنيه وطننا الحبيب، لعلَّ هذا البحث أن يكون رافداً لقطاع الصناعي في مرحلة إعادة الإعمار.

## 2. هدف البحث

التعرُّف على آثار الانفجارات على العناصر المعدنية - والتي قد تُستخدم في المنشآت المعدنية أو هيكل الآلات - ومعرفة العلاقة المؤثرة فيما بينها، وأنَّ تغيير بعض الشروط والمتغيرات على مستوى الأضرار الحاصلة، وانعكاسات ذلك على عملية التصميم، وذلك من خلال المقارنة بين العمود المعدني المُغلف بالبيتون وفولاذ التسلیح مع العمود المعدني غير المُغلف، وتغيير قيمة الحمولة الانفجارية المؤثرة على العمود المعدني، للوصول إلى أثر وجود البيتون كأحد المواد المحيطة بالأعمدة المعدنية.

## 3. الإطار النظري والتعريفات

**الانفجار:** هو تحرُّر مفاجئ وبسرعة عالية للطاقة، مُترافق مع موجة ضغط وحرارة عاليتين، حيث ينتج عنه موجة الضغط الموجب (أكبر من الضغط الجوي، وهي الأخطر)، تليها موجة الضغط السالب (أقل من الضغط الجوي) بعد عدّة أجزاء من الثانية. كما هو موضّح بالشكل (1).

الملاحظات التجريبية والحسابية تم استنتاج أن العمود الفولاذى الموجّف (C1) يتعرّض لفشل وحرقٍ كبيرٍ في مقطعه وتشوهٍ كليٍ شديداً عند تعرّضه لانفجارٍ قریب المدى، أما العمود المملوء بالخرسانة (C2)، فقد تشوهَ تشوّهاً لدِنَا مَحْلِياً شديداً، ولكنه لم يُخْرِق بسبَب وجود الحشوة الخرسانية داخله، حيث أَنَّ هذه الحشوة تبدأ بالتشوه والأخضوع حتى تُسْحق، وبذلك تَمْتصُ الْحُمُولَة، وهذا مُوضَّح في الشكل (3).



**الشكل (3) عمودي الدراسة (التجربة الواقعية والنموذج الرقمي) [3]**

**4.2** قام الباحثون (Wu, Li, Tsai, 2011) ببحث بعنوان "تأثيرات نسبة كتلة الشحنة الانفجارية على قدرة تحمل الصُّغط المتبقية في الأعمدة المختلطة المتضررة بانفجارٍ قریب" [4]، بهدف دراسة أثر نسبة كتلة شحنة انفجار ( $W_{\text{tnt}}$ ) على المقاومة المحورية المتبقية للأعمدة المختلطة المعرضة لقوّة انفجار، حيث أن ( $W_{\text{tnt}}$ ): هي نسبة كتلة الشحنة الانفجارية إلى كتلة البيتون لمتر واحدٍ من الارتفاع.

قام الباحثون بإجراء دراسةٍ تجريبيةٍ واقعيةٍ ومقارنتها مع الدراسة التحليلية كما هو موضح بالشكل (4) وذلك لتقدير مدى فعالية طريقة العناصر المُنْهَيَة في دراسة سلوك المنشآت المعرضة لانفجارات، تم استخدام برنامج LS-DYNA لإجراء محاكاة رقمية للاستجابة الديناميكية للأعمدة المختلطة أثناء تعرّضها لانفجار، وفي التجربة تم استعمال سُت عينات للأعمدة

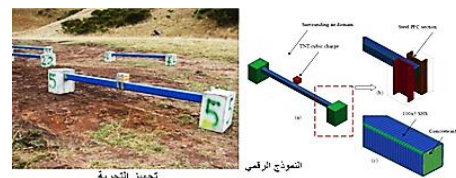
$$Z = \frac{R}{\sqrt[3]{W}}$$

حيث:  $Z$ : مسافة كتلة الانفجار المُقاومة ( $\text{m} \cdot \text{Kg}^{-1/3}$ ).  $R$ : بُعد الشحنة عن العنصر ( $\text{m}$ ).

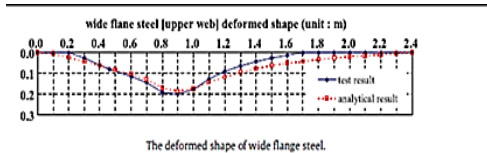
$W$ : كتلة الشحنة الانفجارية مُقدّرة بـ( $\text{Kg}$ ) قام عدد من العلماء بوضع علاقات لحساب الضغط الأعظمي الناتج عن الانفجار، وذلك كتابع للمُعامل  $Z$ ، إذ إنَّه عن طريق معرفة أو فرض ( $Z$ )، يُعرَف مقدار الضرر الحاصل - كالتشوه الأعظمي مثلًا - والذي بمعرفته نُسْتطِيع وضع التصميم المناسب لمقاومة هذا التشوه.

#### 4. الدراسات السابقة

**4.1** قام الباحثون (*D & T Ngo et al., 2014*) ببحث بعنوان: "آلية الاستجابة والفشل للأعمدة الفولاذية الأنبوية المعرضة لانفجارات القرية" [3]، بهدف التحقق من آلية تشوه أعمدة فولاذية جوفاء ذات مقطع مُربع مملوءة بالخرسانة، تحت تأثير تغيرات قريبة باستخدام النهج التجاري والعلمي، حيث أُجريت الدراسة على أعمدة أنبوبية مُربعة مصنوعة من صلب الإنشاءات المُشكَّل على البارد، والتي عُرِضَت لشحنة TNT شديدة الانفجار الشكل (2)، وتناقش مزايا استخدام الخرسانة كمادة حشو لتقليل الأضرار الهيكلية. حيث كانت الشحنة على بُعد 100 mm من عيّنَي الاختبار وهما: C1: عمود فولادي أجوف، C2: عمود فولادي مملوء بالخرسانة، وتم استخدام تقنية النمذجة العددية الشاملة باستخدام طريقة Lagrangian- Eulerian (ALE) في LSDYNA في العناصر المُنْهَيَة باستخدام برنامج LSDYNA في التحليل.



**الشكل (2) النموذج الرقمي والتجهيز للتجربة الواقعية [3]**  
وقد توصلَ الباحثون إلى أن المُحاكاة العددية قادرة على التنبؤ بحالَة الفشل بشكلٍ جيد؛ وبالتالي من



الشكل (6) مقارنة بين منحني تشوه العمود المعدني

[4] بحالتي التجريبية الواقعية والدراسة التحليلية

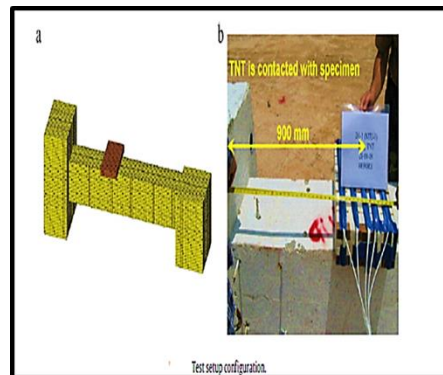
كما توصل البحث إلى أنه عندما تكون نسبة كتلة شحنة الانفجار ( $W_{tnt}=0.4$ ) فإن المقاومة المُتبقية تكون حوالي 90% إذا كان الانفجار على ارتفاع متر ونصف من أسفل العمود، بينما تكون حوالي 60% عندما تكون شحنة الانفجار أسفل العمود.

4.3 قام الباحث (الخميس، 2019)، ببحث

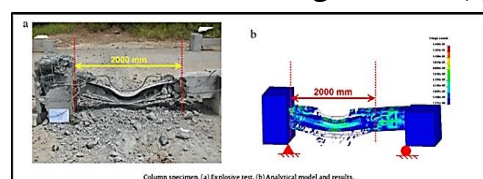
بعنوان: "تقييم انهيار الأعمدة المختلطة المعروضة لحمل انفجاري وأثر هذه الأحمال على المقاومة المُتبقيّة" [8]، بهدف تقييم مدى فعالية برنامج LS-DYNA في تحليل استجابة المنشآت المعرضة لحمل انفجاري، ودراسة سلوك الأعمدة المختلطة تحت تأثير هذا الحمل، حيث تم استخدام عمود مختلط (عمود معدني مغلق بالبليتون) تم تعریضه لشحنة انفجارية ملائصقة من مادة TNT، وتم قياس أثر تغيير مجموعة من المُتغيرات كتغيير نوع الاستناد، والتبسيبة بين حد الانقطاع وحد السيلان للفولاذ المستخدم، وتغيير التباعد بين أسوار التسليح العرضية. وقد توصل البحث إلى مجموعةٍ من النتائج، أهمها: يُمكن محاكاة استجابة الأعمدة المختلطة وتمثيل سلوكها نتيجة تعريضها لحمل انفجاري باستخدام برنامج العناصر المُنتهية LS-DYNA وذلك لوجود تطابق بين نتائج التحليل والتجربة الواقعية بنسبة 95.5%، حيث يمكن تقييم الصدر الحاصل في هذه الأعمدة.

نُقصان مساحة الصَّرْر للعمود بنسبة 15%， 31% بانخفاض التباعد بين فولاذ التسلیح، 40% العرضي من 75 mm على 150 mm، 100 mm، 200 mm في حال التباعد. نُقصان الترتيب، عنه في التشوّه الأعظمي، للعمود المعدني، بنسبة 35%，

تحتَّل فيما بينها بالقطع العرضي والارتفاع، المقطع العرضي الأولى المستخدم مربع بيتوني  $40 \times 40$  cm يحيى مقطع معدني ذي أبعاد mm  $200 \times 200 \times 8 \times 12$  HB (مقطع H بُعد عصبه 200 mm بسماكة 12 mm، وطول جناحه 200 mm بسماكة 12 mm، وتم استعمال Kg (12)، وُضِعَت على تماس مباشر مع العمود.



الشكل (4) التجربة الواقعية والمودع الرقمي [4]  
 قام الباحثون بمعايرة نتائج التحليل الرقمي من  
 برنامج LS-DYNA مع نتائج التجربة الحقيقة، وذلك  
 بمقارنة تشوه المقطع المعدني المعلَف في كِلَّا الحالتين  
 كما هو مُبيَّن بالشكل (5)، كما أن الشكل (6) يُظهر  
 المقارنة بين مُنْحَنِي تشوه العمود المعدني بحالتي  
 التجربة والدراسة التحليلية، حيث يُبيَّن المحنَّي الأزرق  
 تشوه العمود الناتج عن التجربة الواقعية، ويبين  
 المحنَّي الأحمر تشوه العمود الناتج عن التحليل  
 الرقمي، ويُظهِر المحنَّيان تطابقاً كبيراً، حيث أن تشوه  
 العمود المعدني بالتجربة على بُعد 90 cm من القاعدة  
 = 198 mm، وتشوه العمود المعدني بالتحليل الرقمي  
 على بُعد 90 cm من القاعدة = 185 mm.



الشكل (5) النموذج الرقمي والتجربة الواقعية بعد تطبيق

الحملة الانفجارية [4]

## 5.1 مكونات النموذج وخصائصها:

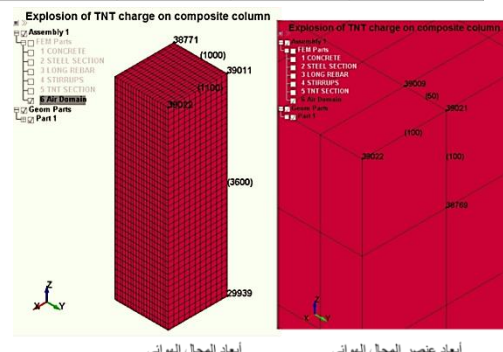
يتكون نموذج الدراسة من عدة مكونات وهي: المجال الهوائي، وشحنة TNT متقدمة، وقضبان التسليح العرضي والطولي، والعمود المعدني، بالإضافة للبيتون المغلف.

### 5.1.1 المجال الهوائي:

وهو الحيز المحيط بالعمود المختلط، ويُعتبر جزءاً من نموذج الدراسة، وتقدر الكتلة الحجمية له  $1.225 \text{ kg/m}^3$ : (Volume density) الجدول (1) خصائص هذا المجال، كما يُبين الشكل (7) هذا المجال وعنصره وأبعاده.

الجدول (1) خصائص المجال الهوائي في البرنامج

| Z       | Y          | X       | أبعاد المجال الهوائي الكلية |
|---------|------------|---------|-----------------------------|
| 3600 mm | 1000 mm    | 1100 mm |                             |
| 100 mm  | 50 mm      | 100 mm  | أبعاد عنصر المجال الهوائي   |
| 1250    | 200        | 200     | مركز المجال الهوائي         |
| 9316    | عدد العقد: | 789     | عدد العناصر:                |
|         |            | solid   | نوع العنصر:                 |



الشكل (7) أبعاد المجال الهوائي وعنصره

### 5.1.2 شحنة TNT:

تم تمثيل الشحنة الانفجارية في النموذج المدرسو على شكل متوازي مستطيلات، حيث أنّ أبعادها وعنصرها موضحة بالجدول (2) والشكل (8).

كتلة الشحنة ( $0.25 \text{ kg}$ ): (Weight of detonation)  
الكتلة الحجمية لمادة TNT ( $\text{Volume density}$ )  $1.63 \text{ t/m}^3$ .

سرعة الموجة الانفجارية لمادة TNT  $6900 \text{ m/sec}$ : (Detonation velocity)

%53 بانخفاض المسافة بين فولاذي التسليح العرضي من 150 mm، 100 mm، 75 mm على الترتيب، عنه في حال التباعد 200 mm. تغيير نوع الاستاد للعمود من (وثاقة - وثافة) إلى (مسند - مسند) أدى لزيادة تشوه العمود المعدني بنسبة 75%， وازيداد مساحة المنطقة المتضررة بنسبة 20%. حدوث تشظٍ وإنهيار واضح بالخرسانة في حالة نموذج الاستاد للعمود (مسند - مسند).

ازدياد قيمة الضّرر الحالى ونسبة تشوه العمود المعدنى بنسبة 18% في حال استخدام نسبة US/YS=1.25 وزادت كمية الطاقة المبذولة بنسبة US/YS=1.05 عن حال استخدام نسبة US/YS=1.05%.

## 5. مواد البحث وطريقه ونموذج الدراسة:

قام الباحث بإعادة تمثيل عمود مُختلط مشابه للنموذج في الدراسة المرجعية [8] (عمود فولاذي ذي مقطع H مُحاط ببلاطون مع التسليح الطولي والعرضي)، وتعريضه لنفس الحمولة الانفجارية (25 kg من مادة TNT ملائقة له)، وذلك باستخدام برنامج LS-DYNA وهو حزمة برمجية للمحاكاة متعددة الفيزياء للأغراض العامة المُتقدمة، من تطوير شركة LSTC وقد قامت شركة ANSYS بالاستحواذ عليها عام 2019، حيث تستمر الحزمة بالتطور والتَّوسيع لاحتواء المزيد من التحليلات المُحاكية للمُشكلات المعقّدة في العالم الحقيقي، ويستخدم البرنامج بشكل كبير في مجال صناعة السيارات والطيران والفضاء، وهندسة الزلازل والهندسة المدنية والعسكرية، وتشكيل الصفائح المعدنية والبلاستيك وقطع المعادن وتحليل الفشل.

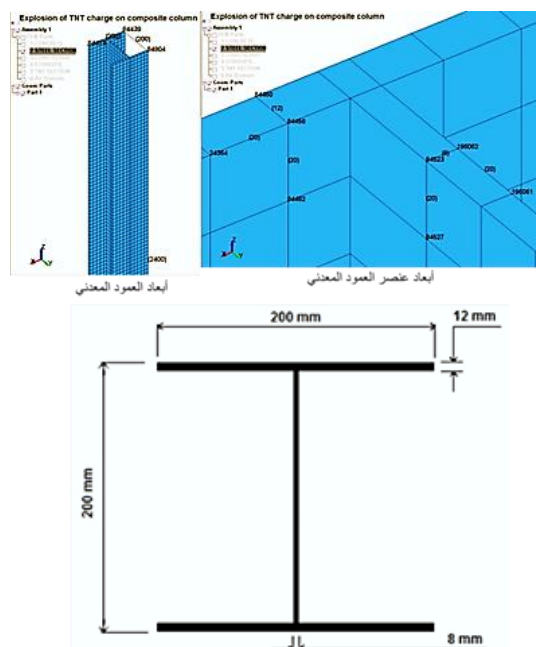
من خلال برنامج LS-DYNA تم استخدام طريقة العناصر المُنتهية لإجراء التحليلات الديناميكية اللاخطية، كما استُخدمت طريقة أويلر-لاغرانج (ALE) في تمثيل المسألة (الوسط المستمر والجسم المُتّصل معه مُترافقان بتشوهات كبيرة جداً) [5].

حيث يُشكّل نواةً له. يُبيّن الجدول (5) خصائص هذا العمود، كما يوضّح الشكل (9) أبعاد مقطعه وعناصره.

**الجدول (5) خصائص العمود المعدني في البرنامج**

| Z                   | Y             | X           | أبعاد العمود الفولاذي الكلية |
|---------------------|---------------|-------------|------------------------------|
| 2400 mm             | 200 mm        | 200 mm      |                              |
|                     |               | H - section | مقطع العمود:                 |
| 1200                | 200           | 200         | مركز العمود:                 |
| 7502                | عدد العقد:    | 3600        | عدد العناصر:                 |
| 20 X 20 X thickness | أبعاد العنصر: | solid       | نوع العنصر:                  |

|                              |                |
|------------------------------|----------------|
| $\sigma_y = 250 \text{ Mpa}$ | حد الخضوع      |
| $E = 206 \text{ Gpa}$        | معامل المرونة  |
| $\vartheta = 0.29$           | معامل بواسون   |
| $G = 80.17 \text{ Gpa}$      | معامل القصص    |
| $\rho = 7833 \text{ Kg/m}^3$ | كتافة الفولاذي |
| $y = 434.37 \text{ Mpa}$     | حد الانقطاع    |
| $L = 2.4 \text{ m}$          | طول العمود     |



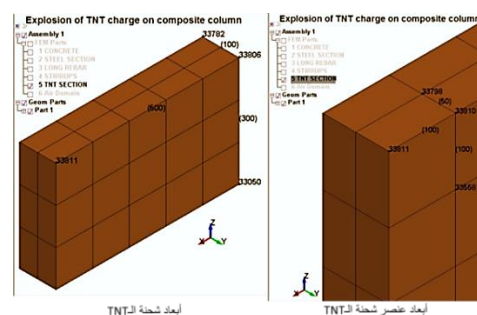
**الشكل (9) أبعاد العمود المعدني ومقطعه وعناصره**

### 5.1.6. خصائص البeton:

وهو عبارة عن المادة الأساسية المائية للعمود المُختلط، بحيث يُغلف العمود المعدني وقضبات التسلیح الطولي والعرضي. يُعرّض الجدول (6) خصائص البeton المستخدم، كما يُبيّن الشكل (10) أبعاده وعناصره.

**الجدول (2) خصائص الشحنة المنفجرة في البرنامج**

| Z      | Y          | X      | أبعاد الشحنة الكلية |
|--------|------------|--------|---------------------|
| 300 mm | 100 mm     | 500 mm | أبعاد عصر الشحنة    |
| 100 mm | 50 mm      | 100 mm | مركز الشحنة         |
| 900    | -50        | 200    | عدد العناصر:        |
| 72     | عدد العقد: | 30     | نوع العنصر:         |
|        |            | solid  |                     |



**الشكل (8) أبعاد الشحنة وعناصرها**

### 5.1.3. قضبان التسلیح العرضي:

وهي عبارة عن قضبان فولاذية بقطر 6 mm على شكل أساور مربعة، متوزعة بتباين ثابت بين بعضها بمقدار 175 mm، على كامل طول العمود المدروّس، يُوضّح الجدول (3) خصائص هذه القضبان.

**الجدول (3) خصائص التسلیح العرضي في البرنامج**

|          |                     |        |   |
|----------|---------------------|--------|---|
| 19       | عدد الحلقات المرئية | 368 mm | التسلیح العرضي على شكل حلقات مربعة، بطول ضلع: |
| 175 mm   | التباعد بين الحلقات | 6 mm   | قطر القضيب:                                   |
| 0        | 0                   | 0      | مركز القضيب:                                  |
| 1596     | عدد العقد:          | 756    | عدد العناصر:                                  |
| 40.88 mm | طول العنصر:         | Beam   | نوع العنصر:                                   |

### 5.1.4. قضبان التسلیح الطولي:

وهي عبارة عن قضبان فولاذية بقطر 16 mm، متوزعة بشكل طولي موازٍ لعمود المعدني وعلى محيط العمود البيتواني، على كامل طول العمود المدروّس، يُوضّح الجدول (4) خصائص هذه القضبان.

**الجدول (4) خصائص التسلیح الطولي في البرنامج**

|          |                     |         |                                     |
|----------|---------------------|---------|-------------------------------------|
| 8        | عدد القضبان         | 3300 mm | التسلیح النطاقي على شكل قضبان بطول: |
| 178 mm   | التباعد بين القضبان | 16 mm   | قطر القضيب:                         |
| 1320     | عدد العقد:          | 656     | عدد العناصر:                        |
| 40.24 mm | طول العنصر:         | Beam    | نوع العنصر:                         |

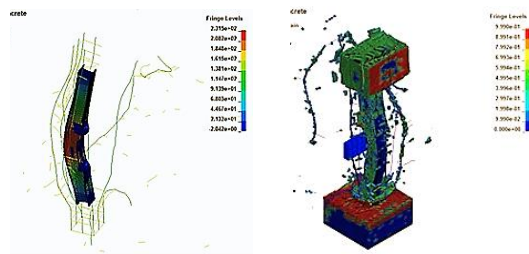
### 5.1.5. العمود الفولاذي:

وهو عبارة عن عمود معدني ذي مقطع H، متواضع في مركز العمود البيتواني وعلى كامل طوله

الشكل (11) نموذج الدراسة ومكوناته

## 6. معايرة النّموذج

بعد عملية تعریض العمود للحملة الانفجارية وإجراء التحلیل برمجياً، وجد تأثیر العمود المختلط بالانفجار وتشظیه وتشوّه العمود المعدني وقضبان التسليح الطولي والعرضی كما هو موضح بالشكل .(12)



الشكل (12) تأثیر نموذج العمود المختلط ومكوناته بعد الانفجار

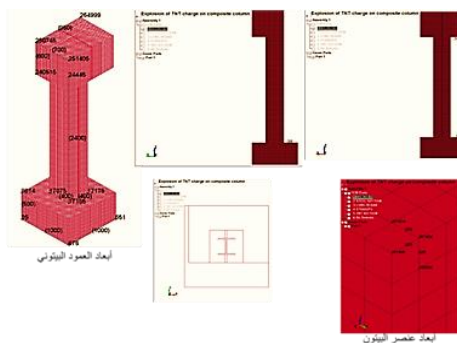
أعطت النتائج التحليلية في الدراسة المرجعية [8] أن أكبر تشوه للعمود المعدني كان باتجاه Y (اتجاه تقدّم الموجة الانفجارية نحو العمود) وذلك في الجناح السفلي وبلغت قيمته 239 mm [8]، بينما في الدراسة الحالیة تم ملاحظة أن أكبر تشوه للعمود المعدني في الجناح السفلي وفي الجناح العلوي أيضاً وقد بلغت قيمته حوالي 233 mm، وهو قريب للتشوه الأعظمي في الدراسة المرجعية، وبالتالي فالتقاب ببنسبة 97.4%.

وعلى الجناح العلوي للعمود المعدني كانت النتائج كما في المخطط البياني شكل (13)، والذي يقارن بين مُحنّني تشوه العمود المعدني بين الدراسة الحالیة والدراسة المرجعية [8] على طول مسافة العمود.

حيث التشوه في الدراسة المرجعية على الجناح العلوي: 190 mm [8]، وفي الدراسة الحالیة: 203.6 mm، أما في التجربة الواقعیة في دراسة (Wu Li Tsai) [4] (وهي الدراسة التي اعتمدتها دراسة (الخمیص)[8] كدراسة مرجعية لها، حيث تم تفجير عمود مختلط بشكل واقعی): 199 mm، ومنه: نسبة التقارب مع الدراسة المرجعية (ال الخمیص)[8]: 93.3%， ونسبة التقارب مع تجربة Wu Li Tsai الواقعیة[4]: 97.74%.

الجدول (6) خصائص الびتون المستخدم في البرنامج

| Z       | Y  | X       | أبعاد البيتون الكلية |
|---------|--|---------|----------------------|
| 600 mm  | 700 mm                                     | 950 mm  | الرأس                |
| 2400 mm | 400 mm                                     | 400 mm  | جسم العمود           |
| 500 mm  | 1000 mm                                    | 1000 mm | المقادة              |
| 20 mm   | 20 mm                                      | 20 mm   | أبعاد عصر البيتون    |
| 1100    | 247  | 208     | مركز البيتون         |
| 177678  | عدد العقد:                                 | 160100  | عدد العناصر:         |
| 40Mpa   | المقاومة الانضغاطية على الصفيحة بعد 28 يوم | solid   | نوع العنصر:          |



الشكل (10) شكل وأبعاد البتون وعناصره

## 5.2 الأوامر البرمجية المستخدمة لمحاکاة العمود في برنامج النّمذجة

: [5] LS-DYNA

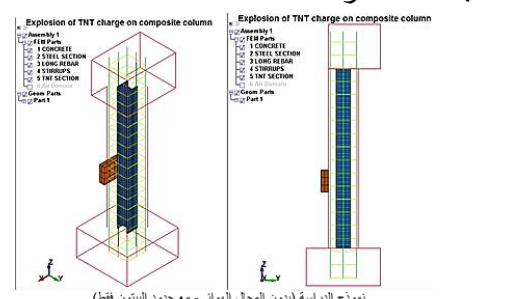
MAT09 (MAT\_NULL): تستخدم لمذكرة جزيئات الهواء، مترافق مع معادلة الحالة Linear\_Polynomial

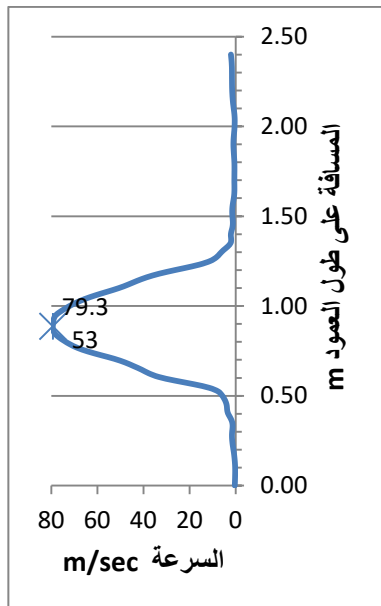
MAT08 (MAT\_HIGH\_EXPLOSIVE\_BURN): تم استعمالها لمذكرة الشحنة الانفجارية مترافق مع معادلة الحالة لمادة TNT، وهي معادلة JONES-WILKINS-LEE (JWL)

Mat024 (PEICEWISE\_LINEAR\_PLASTICITY): تم استعمالها لمذكرة مادة قضبان التسليح الطولي والعرضي.

Mat 098 (Mat\_simplified\_JOHNSON\_COOK): تم استعمالها لمذكرة مادة العمود المعدني.

Mat 159 (MAT\_CSCM): تم استعمالها لمذكرة مادة الخرسانة.

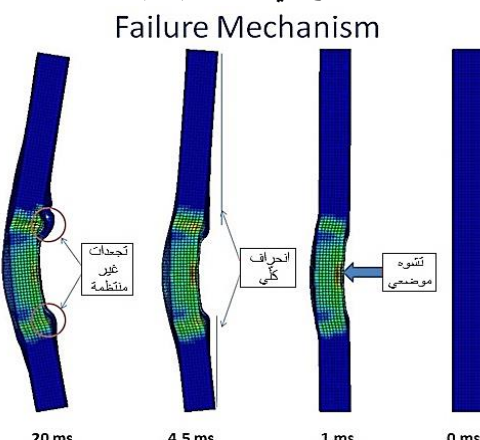




الشكل (14) مخطط بياني لتوزيع السرعة الأولية (في اللحظة 0.25 ms) على طول العمود المعدني

## 7.2 مراحل تطور الضرر بالعمود Failure Mechanism

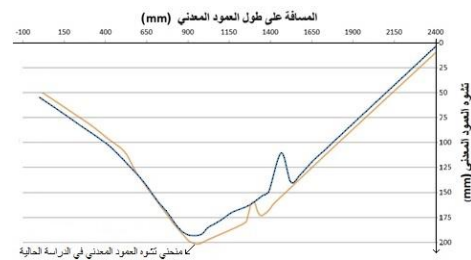
بِمُجرَّد أن يُنْتَج التفجير غازاته وخلال لحظات الانفجار الأولى، يبدأ تشوّه مَوْضِعِي (محلي) فوراً تحت موضع الشحنة المتفجرة مُباشِرَةً، تشوّه لدن كبير؛ ثم يبدأ انعطاف العمود حول مركز الشحنة انعطافاً كُلَّياً، مع استمرار التشوّهات اللَّذِنة بالزيادة والانتشار؛ تَظَهُر انتشارات وتَبعُدات غير مُنْتَظِمة في بعض مناطق العمود، كما هو مُوضَّح في الشكل (15).



الشكل (15) مراحل تطور الضرر بالعمود خلال فترة الانفجار

## 7.3 تشكُّل مفاصل الدُّوران اللَّذِنة

عند الانفجار يتعرَّض العمود المعدني لإجهادات وعُزُوم انحناء كبيرة، وتبَدأ التشوّهات المرنَّة في المقطع



الشكل (13) مخطط بياني لمقارنة التشوه في الجناح الغلوي على طول العمود في نموذج الدراسة الحالية والدراسة المرجعية

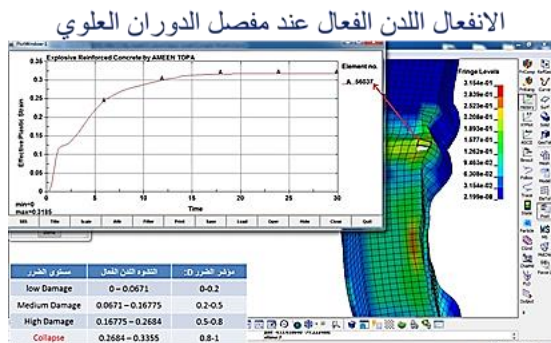
وعليه تَدَلُّ النَّتَائِج عَلَى مَدِي كَفَاءَةِ بِرَنَامِج LS-DYNA بِتمثيل الْحَالَةِ الْحَقِيقِيَّةِ لِلْعَنْصُرِ وَالْحَمْلِ المَدْرُوسِينِ، مِمَّا يُعْطِي نَتَائِجَ دَقِيقَةٍ تُوفِّرُ الْكَلَافِ الْعَدِيدَ الَّتِي تَسْتَهْلِكُهَا التَّجَارِبُ الْوَاقِعِيَّةُ، كَمَا تُؤَكِّدُ النَّتَائِجُ عَلَى صَلَاحِيَّةِ النَّمُوذِجِ الْمُسْتَخْدَمِ، لِيَتَمَّ بَعْدَ ذَلِكِ الْقِيَامُ بِتَغْيِيرِ عَدِيدٍ مِنْ خَصَائِصٍ وَمُتَغَيِّرَاتِ النَّمُوذِجِ وَالْقِيَامُ بِالْتَّحْلِيلَاتِ الْخَاصَّةِ وَاستِخْلَاصِ النَّتَائِجِ لِكُلِّ تَغْيِيرٍ.

## 7. استنتاجات إضافية

إضافةً لِاستِنْتَاجَاتِ الْبَاحِثِ فِي الْدَّرَاسَةِ المَرْجُعِيَّةِ [8]، يُمْكِن إِضَافَةُ استِنْتَاجَاتٍ أُخْرَى مِنْ تَحْلِيلِ النَّمُوذِجِ الْأَوَّلِيِّ، وَهِيَ:

### 7.1 السرعة:

وُجِدَ مِنْ الْمُخْطَطِ الْبَيَانِيِّ شَكَل (14): تَوْزِعُ السرعة الأولية (في اللحظة 0.25 ms) من تطبيق الحُمْلَة الانفجارية على طول العمود المعدني، حيث أنه من الواضح أن مُعْظَم الطَّاقَةِ المتفجرة يتم تطبيقها على الجزء الموجود في المَوْضِعِ الْمَركَبِيِّ من العمود تحت الشحنة المتفجرة مُباشِرَةً، ويَمْتَدُ حَوْالِي (400 mm) من كلا الجانبين، وهذا ما يُؤكِّدُ الطَّبَيْعَةِ المَحَلِّيَّةِ والتأثيرات الموضعيَّةِ الَّتِي تَنْتَهُ بِتَطَوُّرِ خَلَالِ عَمَلِيَّةِ التفجير القريب.



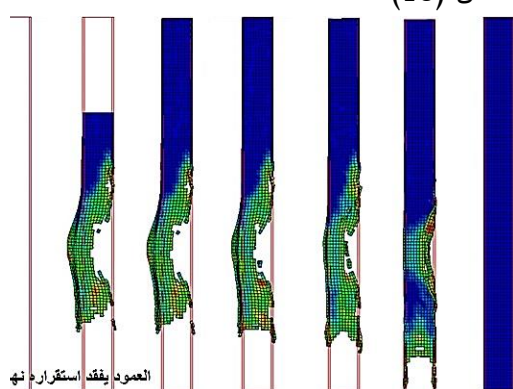
الشكل (17) الانفعال للدن الفعال عند مفصل الدوران العلوي

- وبالتالي فإن التشوّه في العمود المعدني يكون على مرحلتين:

- المرحلة الأولى (محلي/موضعي Local) خلال فترة قصيرة، حيث يحدث تشوّه محلي في العمود تحت موضع الشحنة، ويتّسّوّه العمود تشوّهاً لدائماً كبيراً.
- المرحلة الثانية (شامل - Global) خلال فترة لاحقة، حيث يحدث انعطاف كبير في العمود ككل حول مركز الشحنة.

## 8. دراسة المتغيرات ونتائجها

تم إزالة الغلاف البetonوي وقضبان التسلیح الطولي والعرضي، والإبقاء على العمود المعدني فقط، وتعريضه لنفس الشرط والأحمال السابقة (25 kg TNT)، حيث وجد أن العمود المعدني قد تَشَظَّ مباشرةً وتُطَابِر إلى أجزاءٍ صغيرةٍ وانهارَ كُلَّاً. كما هو مُبيّن بالشكل (18).

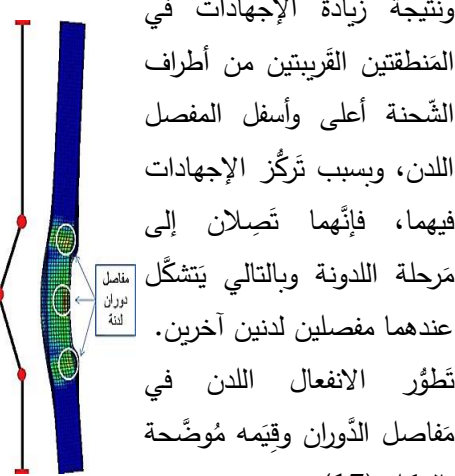


الشكل (18) انهيار العمود المعدني غير المحاط بالبیتون المعرض لشحنة 25 kg

- نتيجةً لذلك تم القيام بعده من التغييرات على كُتلة الشحنة المتفجرة، حيث تم تحفيضها مرات عدّة

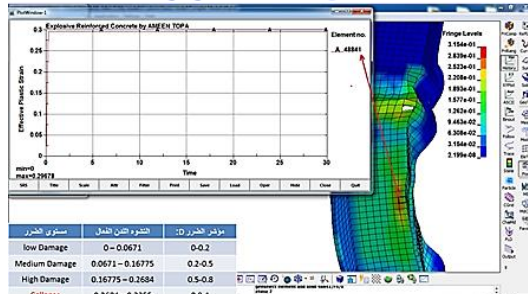
العرضي للعمود المعدني الواقع تحت الشحنة المتفجرة مباشرةً؛ إن الإجهادات في المقطع تكون أقل من حدّ الخضوع وتسلك سلوكاً خطياً تابعاً لقانون هوك، ومع زيادة الإجهادات حتى تصل إلى حدّ الخضوع يبدأ المقطع بالتلذّن، وبالتالي يدخل العمود بمرحلة اللدونة. تزداد قيمة التشوهات في بعض نقاط العمود فجأة وتتحول إلى تشوهات لينة نتيجة تراكُز الإجهادات فيها، عندها يتم تشكُّل المفاصل اللدنية التي تسمح بدوران أجزاء من العمود المعدني؛ يتَشَكَّل في البداية المفصل اللدن في العمود تحت مركز الشحنة مباشرةً (المفصل الوسطي) كما في الشكل (16).

ومع زيادة الحُمولة يبدأ جزئي العمود بالدوران بشكلٍ متعاكِسٍ حول هذا المفصل اللدن.

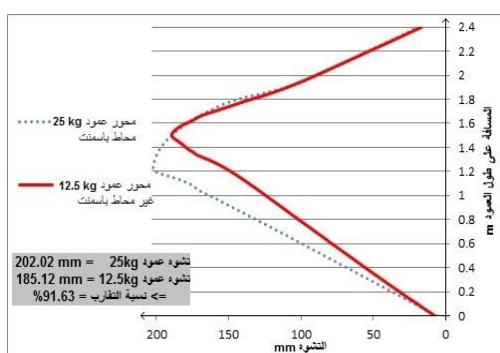


الشكل (16) تشكُّل مفاصل الدوران اللدنية

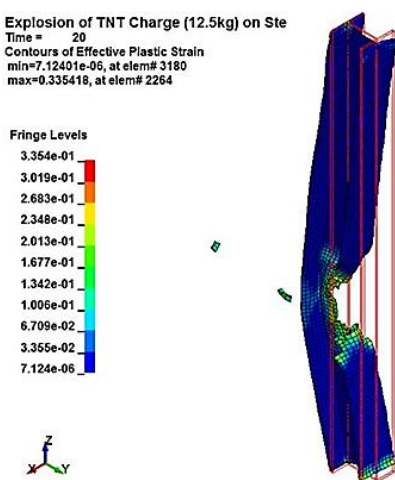
## الانفعال للدن الفعال عند مركز الشحنة



تم مقارنة العمود المعدني المحاط بالبيتون عند شحنة 25 kg مع العمود المعدني غير المحاط بالبيتون عند شحنة 12.5 kg على كامل طول العمودين، وكانت قيم التشوهين الكليين الحاصلين مقاربة كما هو موضح بالمخطط البياني شكل (19)، لكن التشوه الموضعي في العمود المعدني غير المحاط بالبيتون عند شحنة 12.5 kg كان كبيراً، كما هو موضح بالشكلين (21-20)، حيث يلاحظ تشوه موضعي كبير وتطاير أجزاء من العمود.



الشكل (19) مخطط بياني لمقارنة التشوه على طول العمود عند شحنة 25 kg محاط بالبيتون، و 12.5 kg غير محاط بالبيتون



الشكل (20) التشوه الكلي للعمود المعرض لشحنة 12.5 kg غير محاط بالبيتون

وإجراء التحليل، ولم يتم الوصول إلى نتيجة مقاربة للعمود المعدني المحاط بالبيتون، حيث أنه:

► إما أن تكون الشحنة كبيرة بحيث يحصل تشوه كلي مقارب للتشوه الكلي في النموذج المحاط بالبيتون، ولكن يحصل عندها تشوه موضعي كبير جداً وتطاير أجزاء كبيرة من العمود المعدني.

► أو تكون الشحنة صغيرة بحيث يحصل تشوه موضعي مقارب للتشوه الموضعي الحاصل في العمود المحاط بالبيتون (أي دون تشتت أو تطاير أجزاء)، ولكن يكون عندها التشوه الكلي صغيراً وبعيداً عن قيمة التشوه الكلي في النموذج الأقلية المحاط بالبيتون، كما هو مبين بالجدول (7) أدناه.

#### الجدول (7) التشوه المحلي والكلي الحاصل حسب

##### حجم الشحنة

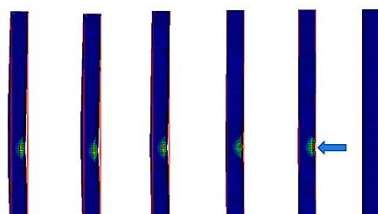
| شحنة متقدمة كبيرة | تشوه محلى كبير جداً وتشتت | تشوه محلى كبير جداً وتشتت |
|-------------------|---------------------------|---------------------------|
| (😊)               | (😊)                       | (😊)                       |
| شحنة متقدمة صغيرة | تشوه محلى صغير ودون تشتت  | تشوه محلى صغير ودون تشتت  |

□ وبالتالي وبعد إجراء تجاري وتحليلات عدّة بتحفيض كتلة الشحنة المتقدمة، تم الوصول إلى النتائجين التاليتين تبعاً لحالتي التشوه الكلي والموضعي:

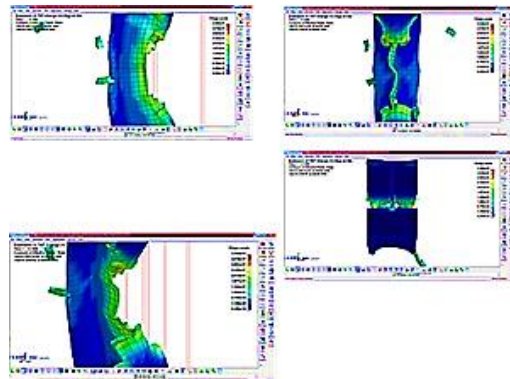
► أقرب كتلة شحنة متقدمة يحصل عندها تشوه كلي مقارب للتشوه الكلي الحاصل في العمود المحاط بالبيتون هي عند كتلة شحنة 12.5 kg (50% من كتلة شحنة النموذج الأولي).

► أقرب كتلة شحنة متقدمة يحصل عندها تشوه موضعي مقارب للتشوه الموضعي الحاصل في العمود المحاط بالبيتون (دون تشتت أو فقدان أجزاء من العمود المعدني) هي عند كتلة شحنة 2.5 kg (10% من كتلة شحنة النموذج الأولي).

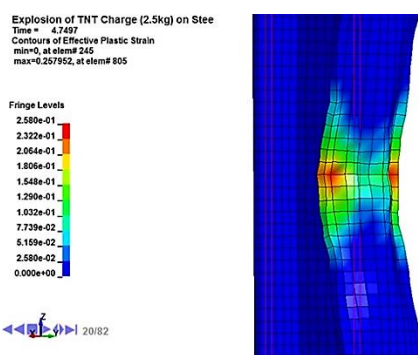
**8.1 مقارنة بين العمود المعدني في حالتي شحنة 25 kg محاط بالبيتون - 12.5 kg غير محاط بالبيتون:**



الشكل (23) تطُور التشوُّه الكلّي للعمود المعرض لشحنة 2.5 kg



الشكل (21) التشوُّه الموضعي للعمود المعرض لشحنة 12.5 kg غير محاط بالبيتون



الشكل (24) التشوُّه الموضعي للعمود المعرض لشحنة 2.5 kg

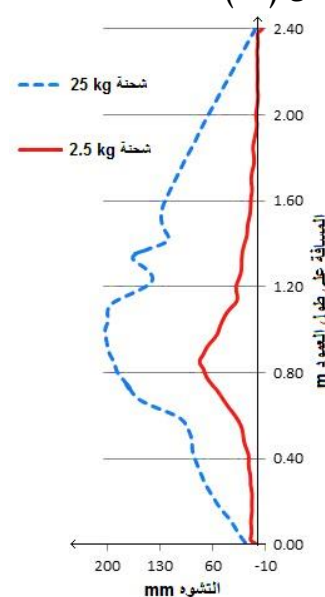
## 9. الاستنتاجات والمناقشات

- مِمَّا سَبَقَ من تحليلات نَسْتَدِعُ الطَّبَيْعَةَ المَحلَّيةَ والتأثيرات المَوضِعِيَّةَ الَّتِي تَنْتَطُّرُ خِلَالِ عمليَّةِ التَّفْجِيرِ القَرِيبِ، حِيثُ أَنَّ التشوُّهَ فِي العمودِ المعدنيِّ يَكُونُ عَلَى مَرْحلَتَيْنِ، الْأُولَى (مَحَلِّيٌّ / مَوضِعِيٌّ Local) خِلَالَ فَتَرَةٍ قَصِيرَةٍ، حِيثُ يَحْدُثُ تشوُّهٌ مَحَلِّيٌّ فِي العمودِ تَحْتَ مَوْضِعِ الشَّحْنَةِ، وَيَتَشَوَّهُ العمودُ مَوضِعِيًّا تشوُّهًا لَدَنَا كَبِيرًا؛ وَالثَّانِيَةُ (شَاملٌ Global) خِلَالَ فَتَرَةٍ لَاحِقَةٍ، حِيثُ يَحْدُثُ انْعِطافٌ كَبِيرٌ فِي العمودِ كُلُّ حَوْلِ مَرْكَزِ الشَّحْنَةِ.

- إنَّ وَجُودَ الْبَيْتُونَ مَعَ قَضْبَانِ التَّسْلِيْجِ قَدْ دَعَمَ كَبِيرًا للعمودِ المعدنيِّ، حِيثُ أَنَّ المِيَّةَ الرَّئِيسِيَّةَ لِلْبَيْتُونِ المُسْلَحِ هي قُدرَتُهُ عَلَى امْتِصَاصِ جُزءٍ مِنَ الطَّاقَةِ المُنْقَلَّةِ إِلَى العمودِ الفُولَادِيِّ مِمَّا يَحْمِيهُ وَيَمْنَعُ حُدُوثَ خَلْلٍ كَبِيرٍ فِيهِ وَبِالْتَّالِي فَإِنَّهُ يَتَعرَّضُ لِأَضْرَارٍ أَقْلَى.

حِيثُ أَنَّ الْبَيْتُونَ المُسْلَحِ يَبْدُأُ بِالتَّشَوُّهِ وَالْخُضُوعِ حَتَّى يَتَسَطَّعَ وَتَتَطَابِرَ أَجْزَاءُ كَبِيرَةٍ مِنْهُ، وَبِذَلِكَ يَمْتَصُ

**8.2 مَقارنة بين العمود المعدني في حالَي 25 kg محاط بالبيتون - 2.5 kg غير محاط بالبيتون:**  
تم مقارنة العمود المعدني المحاط بالبيتون عند شحنة 25 kg مع العمود المعدني غير المحاط بالبيتون عند شحنة 2.5 kg على كامل طول العمودين، حيث نلاحظ تشوهاً موضعياً بسيطاً دون تشظٍ أو فقدان أجزاء من العمود كما هو موضح بالشكل (24)، أما قسم التشوہین الكَلَّيين الحاصلين في كلا العمودين فقد كانا مختلفين كثيراً كما هو موضح بالمخطط البياني شكل (22). وتَطُور التشوُّه الكلّي في العمود المعدني غير المحاط بالبيتون عند شحنة 2.5 kg موضح الشكل (23).



الشكل (22) مُخطَّط بيانيًّا لمَقارنة التشوُّه على طول العمود عند شحنة 25 kg محاط بالبيتون، و 2.5 kg غير محاط بالبيتون

## 10. المراجع Reference

1. Ngo,T. Mendis,P. Gupta A. & Ramsay, J. (2007). Blast Loading and Blast Effects on Structures – An Overview. EJSE International Journal. PP. 76-91. Melbourne: Australia. The University of Melbourne.
2. Stoltz, A. Doormaal, A. Haberacker, C. Husken, G. Larcher, M. Saarenheimo, A. et al. (December 2013). Resistance of structures to explosion effects: Review report of testing methods. pp. 78. Luxembourg: Luxembourg. Publications Office of the European Union.
3. Ngo, T, Mohotti, D, Remennikov, A, Uy, B. (9-12 December 2014). Response and failure mechanism of tubular steel columns subjected to close-range explosions. 23rd Australasian Conference on the Mechanics of Structures and Materials (ACMSM23), vol. II, pp. 1045-1050. Byron Bay, NSW, , Southern Cross University, Lismore, NSW: Australia.
4. Chiang Wu ,K . Li ,B . Chyuan Tsai .K. (2011). The effects of explosive mass ratio on residual compressive capacity of contact blast damaged composite columns, Journal of constructional steel research, 67, PP. 602-612.
5. Livermore Software Technology Corporation (LSTC). (May 2007). LS-DYNA keyword user's manual Version 971. vol. I & II. pp. 2206.
6. Fujikura, S. Bruneau, M. Lopez, D. (2008). Experimental Investigation of Multihazard Resistant Bridge Piers Having Concrete-Filled Steel Tube under Blast Loading, JOURNAL OF BRIDGE ENGINEERING, 13:6(586), PP. 586-594.
7. Remennikov, Alex, Uy, Brian, Mentus, Igor, (2014). EXPERIMENTAL INVESTIGATION OF RESPONSE OF STEEL TUBULAR COLUMNS TO CLOSE RANGE EXPLOSIONS, PP. 9. Faculty of Engineering, University of Wollongong. Wollongong: Australia.
8. الخبص، عبادة. (2019)، تقسيم انهيار الأعداء المختلطة المعرضة لحمل انفجاري وأثر هذه الأعمال على المقاومة المتبقية. ماجستير. الهندسة الإنسانية الزلزالية. المعهد العالي للبحوث والدراسات الزلزالية. جامعة دمشق. دمشق: سورية. ص: 95.
9. جاويش، معتر. (2007). تصميم الآلات /1/. دمشق: سورية. منشورات جامعة دمشق، كلية الهندسة الميكانيكية والكهربائية. ص: 597.
10. بركات، خالد رشدي. (1998). عناصر الآلات أطلس في التصميم الميكانيكي. دمشق: سورية. ص: 506.

الجزء الأكبر من الحمولة، وبالتالي يُخَضِّع الأضرار الهيكلية والتشوهات للعمود المعدني بنسبة كبيرة جداً. وبالتالي واعتماداً على كُل الشحنات المُتفجرة وجد:

- انخفاض الانحناء الكلي في العمود المُحاط بالبيتون إلى 50 % مقارنة بالعمود المعدني المُحاط بالبيتون.
- انخفاض التشوه المُوضعي في العمود المعدني المُحاط بالبيتون إلى 10 % مقارنة بالعمود المعدني غير المُحاط بالبيتون.